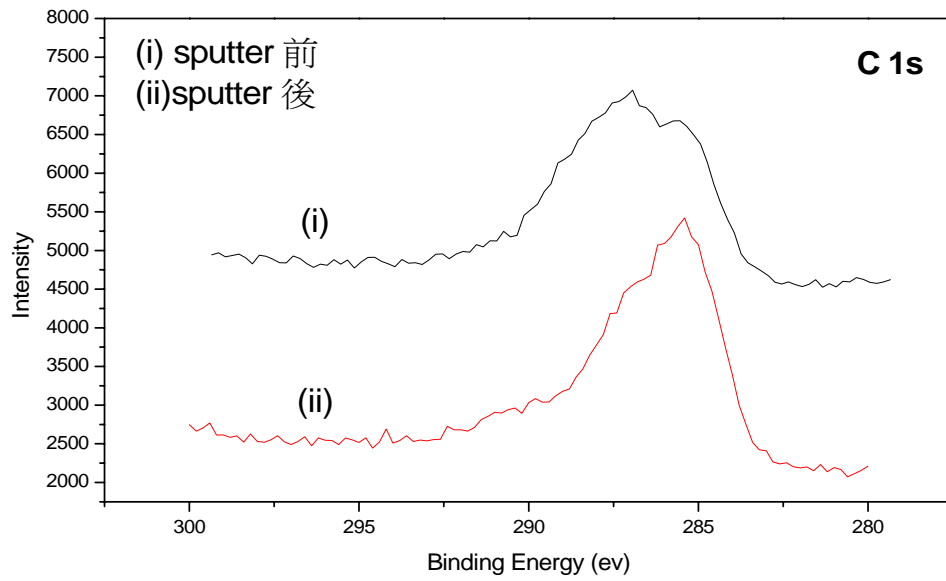
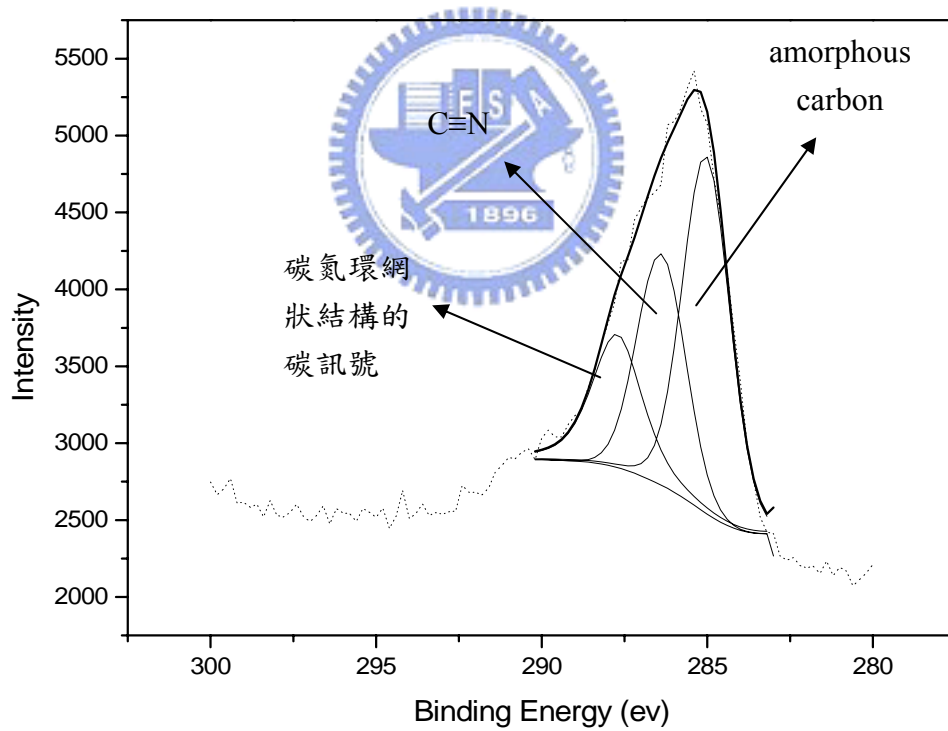


(b)

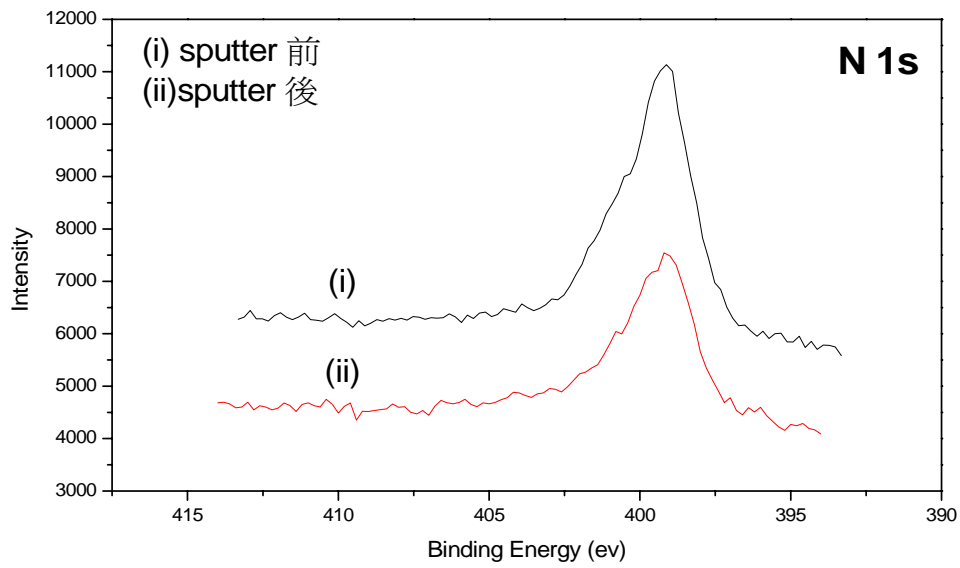


(c)

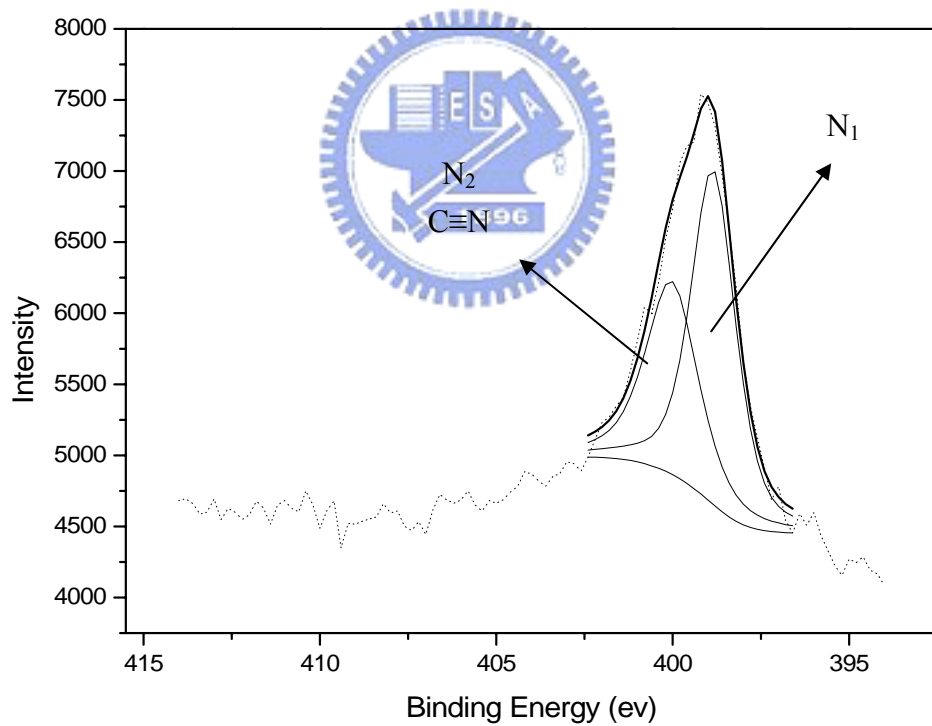


圖八 (b)樣品A之高解析C區域化學位移光譜圖。(c)為其經Ar⁺濺射三十秒之Gaussian curve fitting圖。

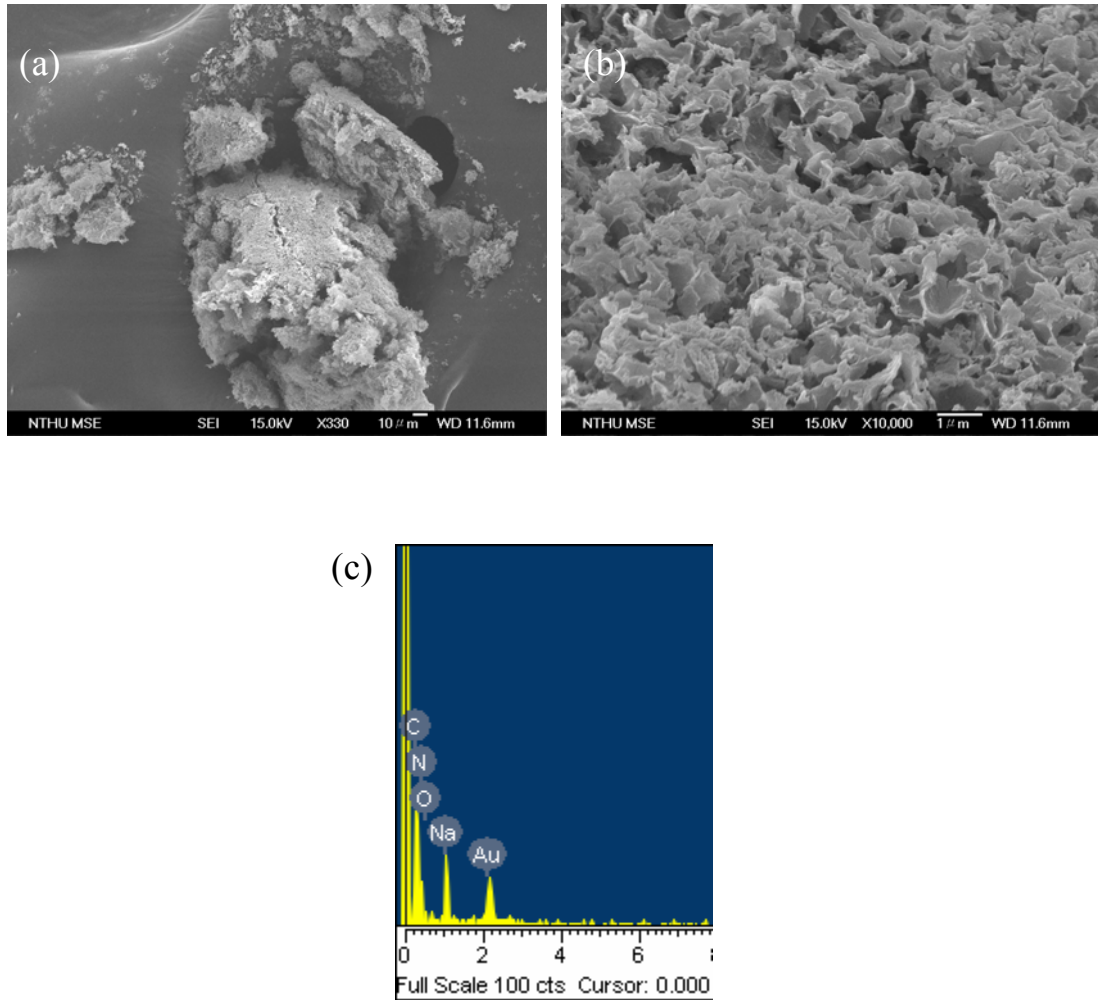
(d)



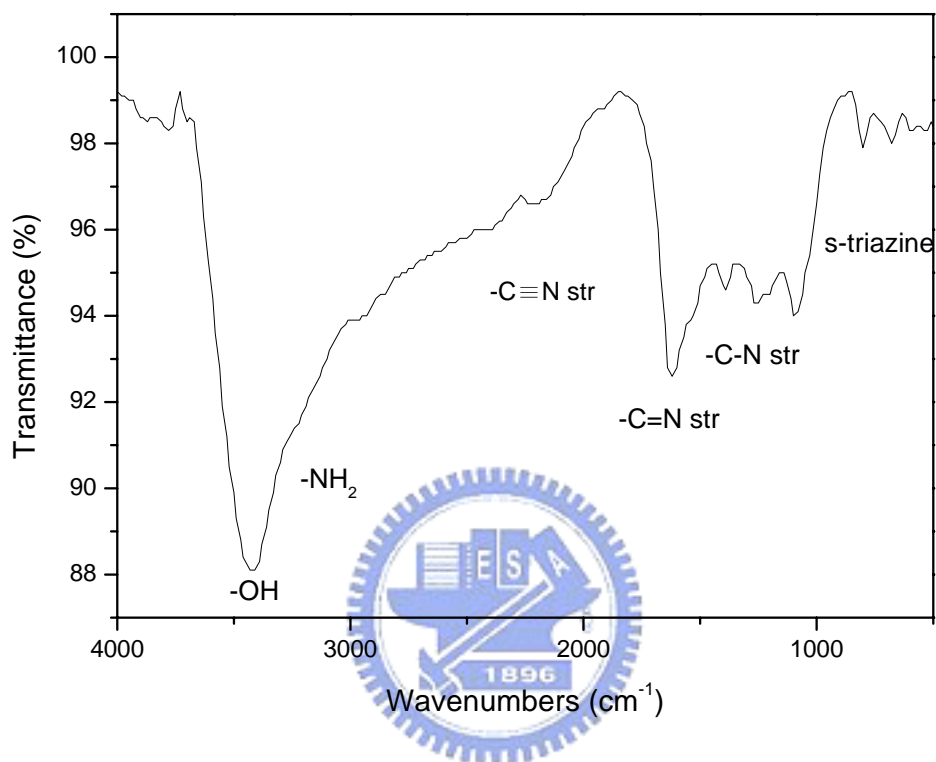
(e)



圖八 (d)樣品A之高解析N區域化學位移光譜圖。(e)為其經Ar⁺濺射三十秒之Gaussian curve fitting圖。

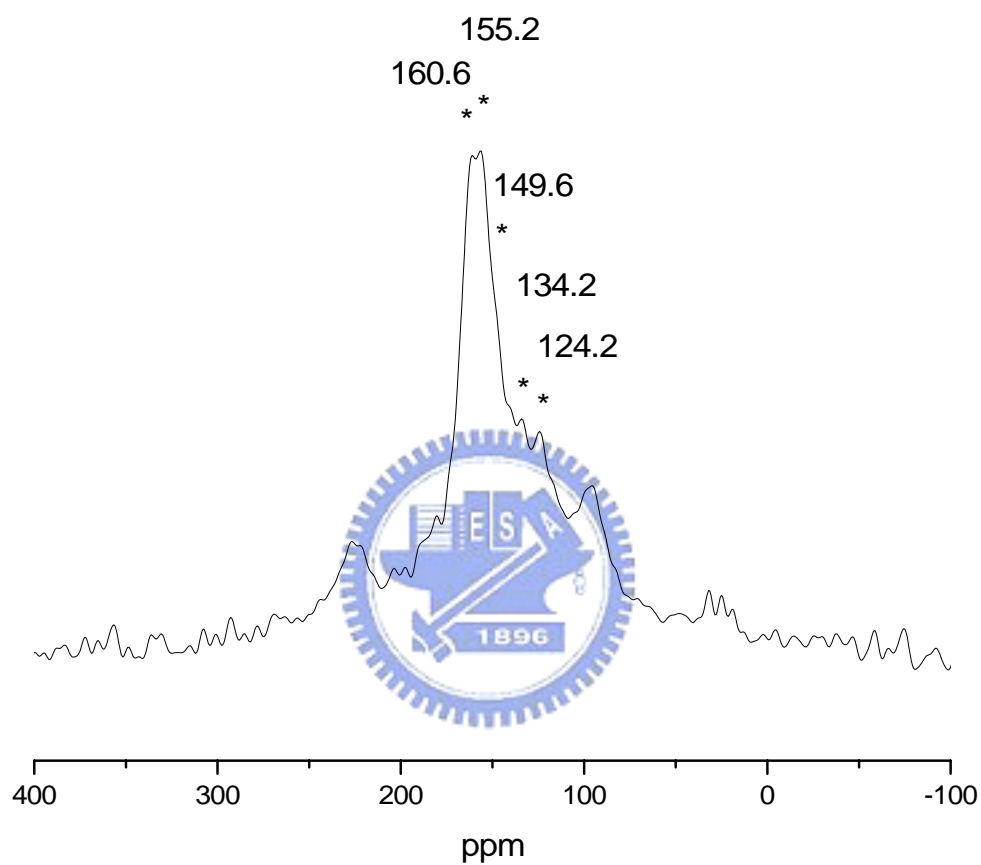


圖九 (a)、(b) $C_3N_3Cl_3$ 與 NaH 熱裂解後的 Na 金屬在 673K 下反應，經高溫 973K 熱處理後得到的樣品 B 之 SEM 影像圖。(c) 為其 EDS 分析圖。



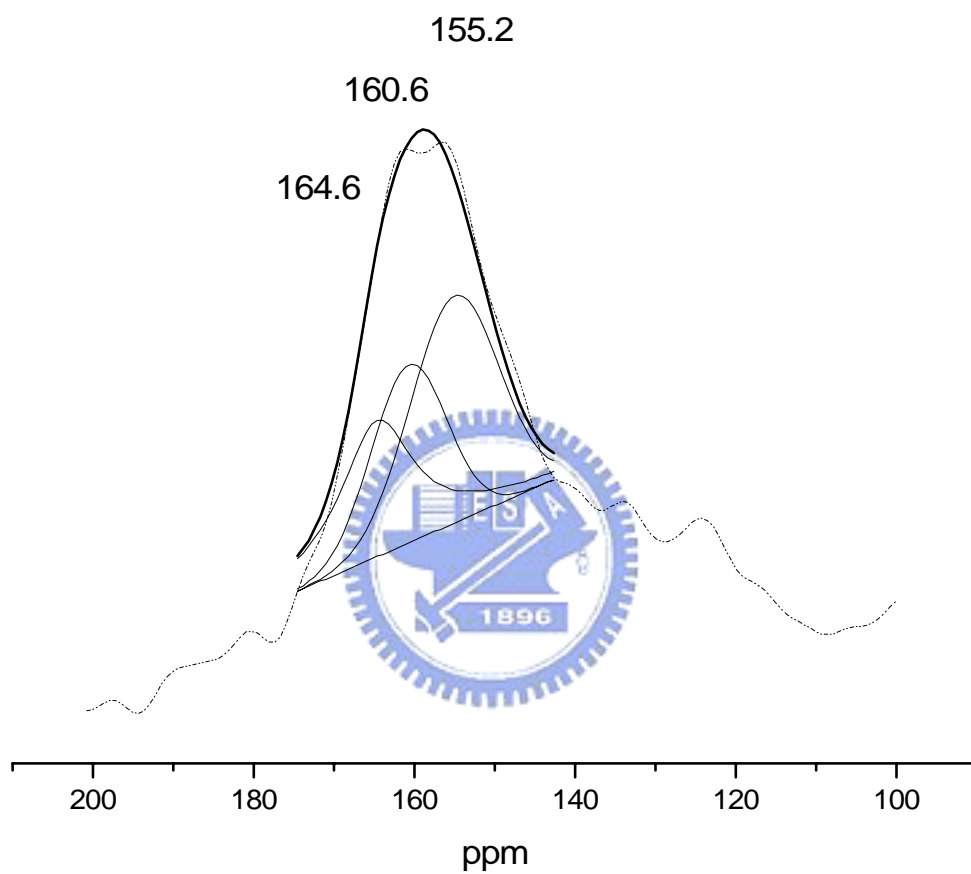
圖十 $C_3N_3Cl_3$ 與NaH熱裂解後的Na金屬在673K下反應，經高溫973K熱處理後得到的樣品B之FT-IR光譜圖。

(a)

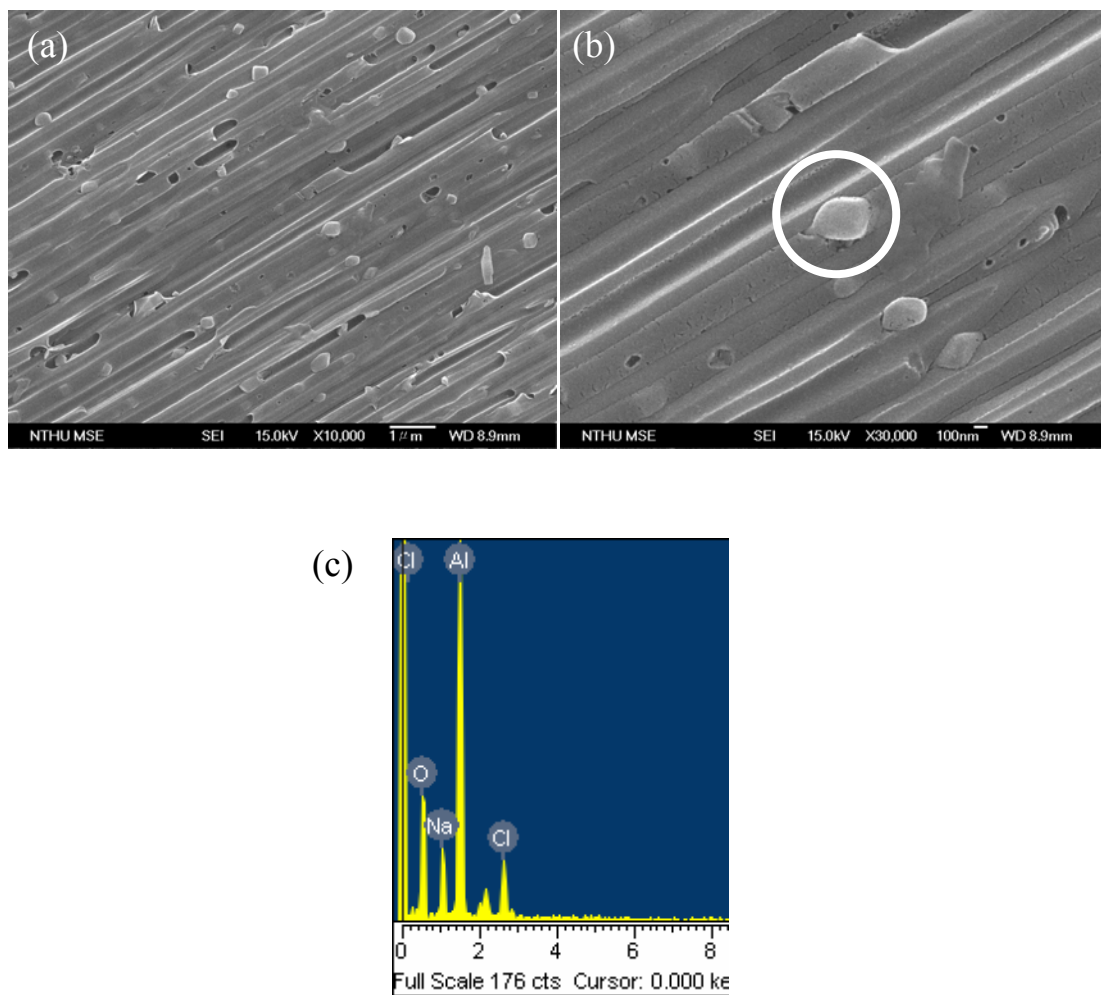


圖十一 (a)樣品B之 ^{13}C 固態核磁共振光譜圖。

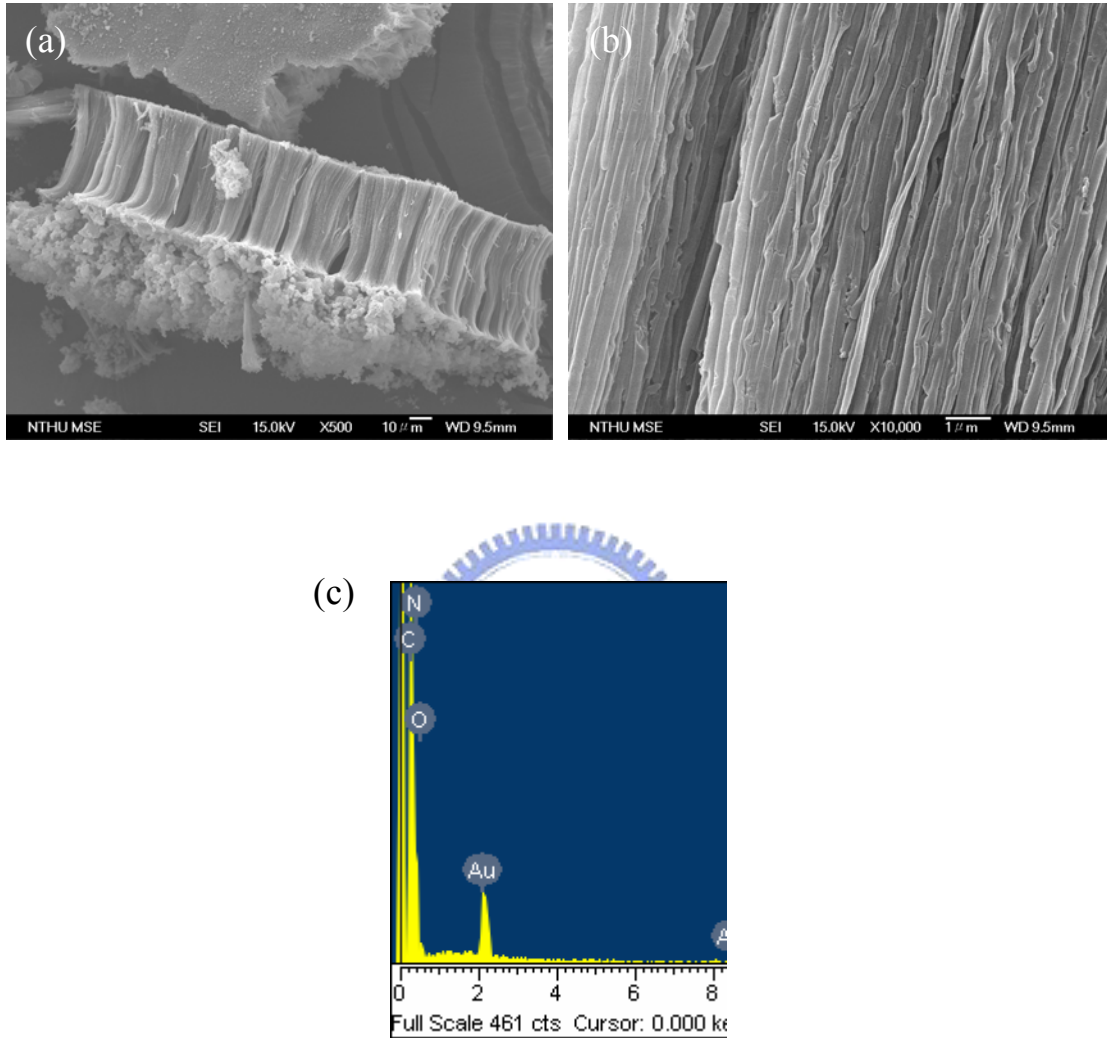
(b)



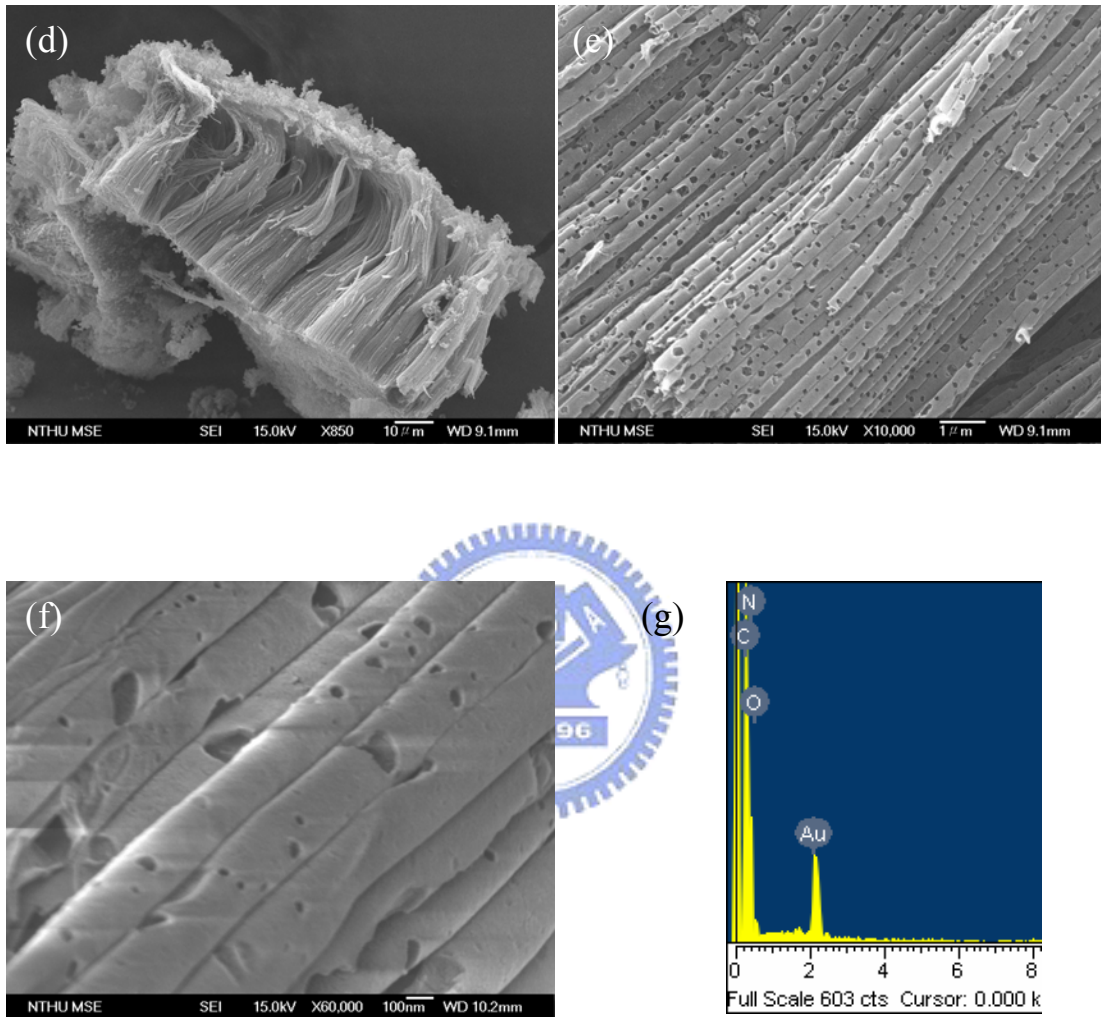
圖十一 (b)為(a)之 Gaussian curve fitting 圖譜。



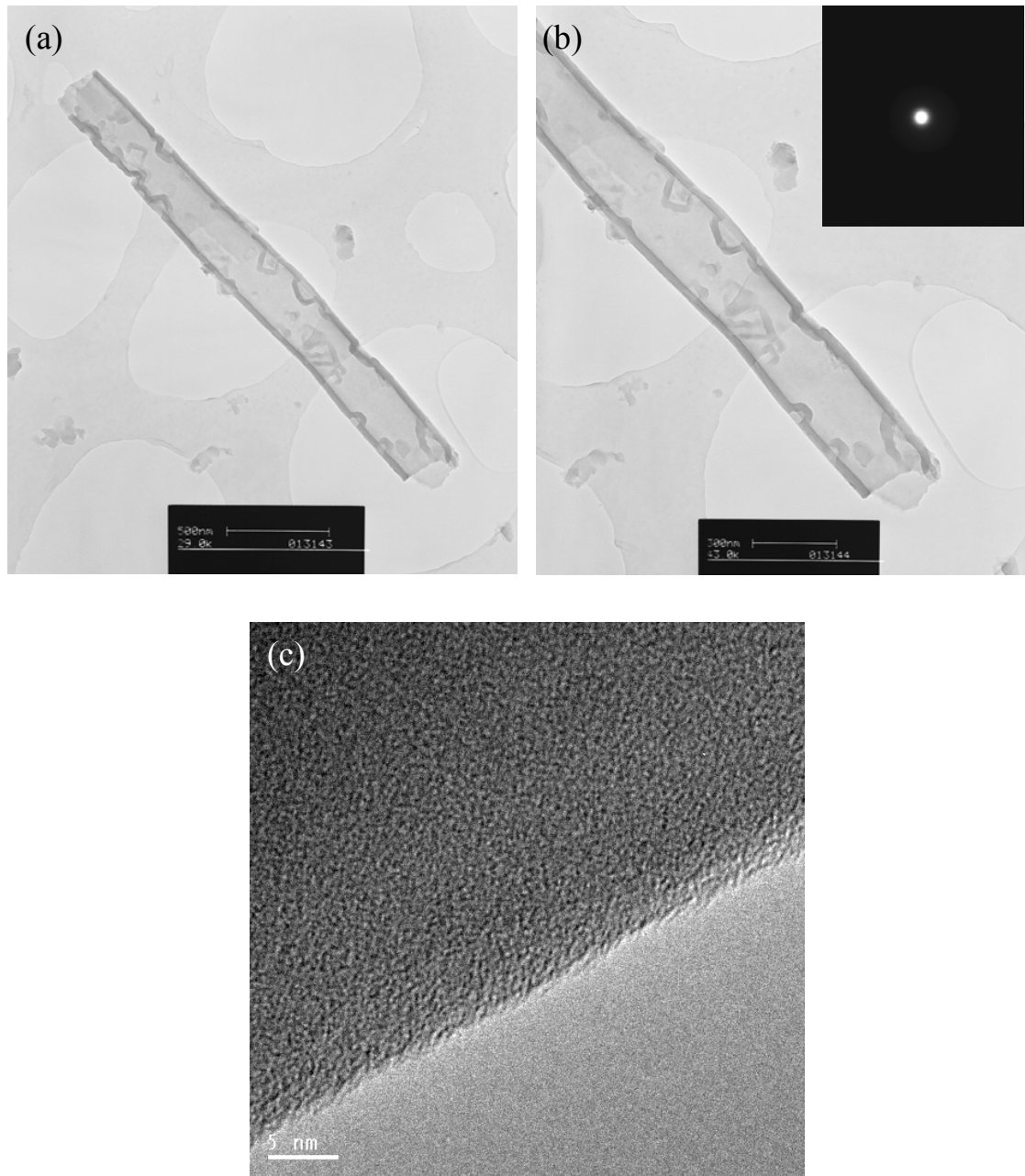
圖十二 (a)、(b) $C_3N_3Cl_3$ 與具反應性模板在 623K 下反應得到的樣品 C 之 SEM 影像圖。(c) 為對圖 (b) 圈出的區域做的 EDS 分析圖。



圖十三 (a)、(b) $C_3N_3Cl_3$ 與具反應性模版在 623K 下反應得到奈米氮化碳扁管之 SEM 影像圖。(c) 為對圖(b)做的 EDS 分析圖。

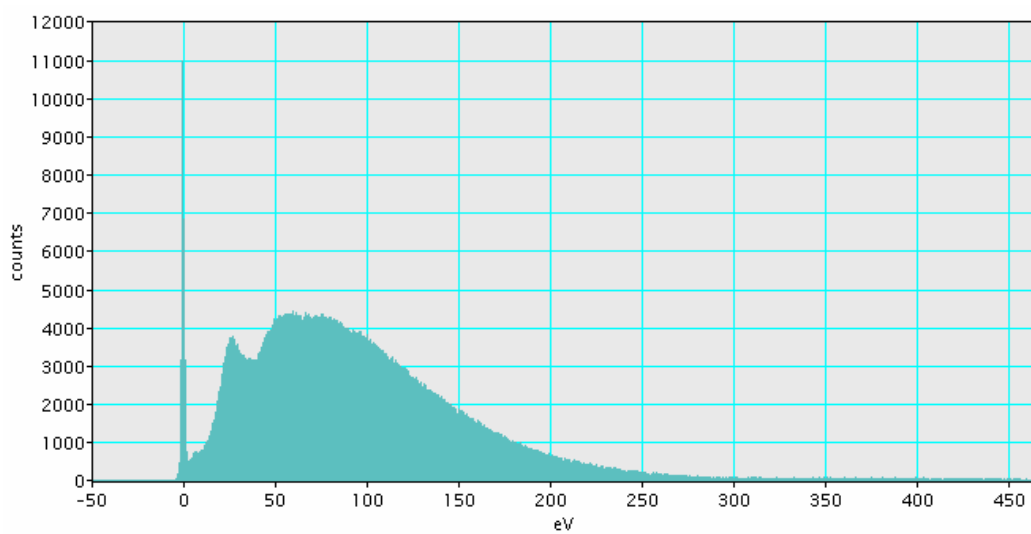


圖十三 (d)、(e) $C_3N_3Cl_3$ 與具反應性模板在 623K 下反應得到奈米氮化碳管之 SEM 影像圖。(f) 為 (e) 之高倍率影像。(g) 為對圖 (e) 做的 EDS 分析圖。

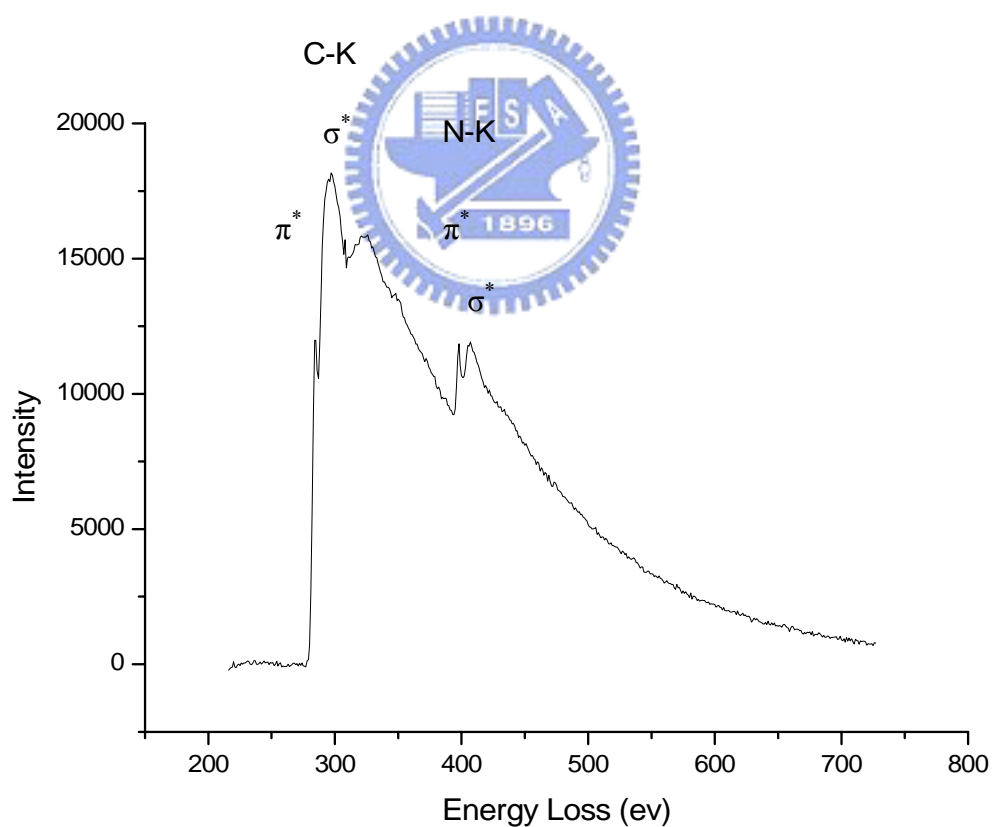


圖十四 (a)、(b) $C_3N_3Cl_3$ 與具反應性模板在 623K 下反應得到奈米氮化碳管之 TEM 影像圖。(b) 之插圖為其 SAED 影像圖。(c) 為其管壁 HRTEM 影像圖。

(a)

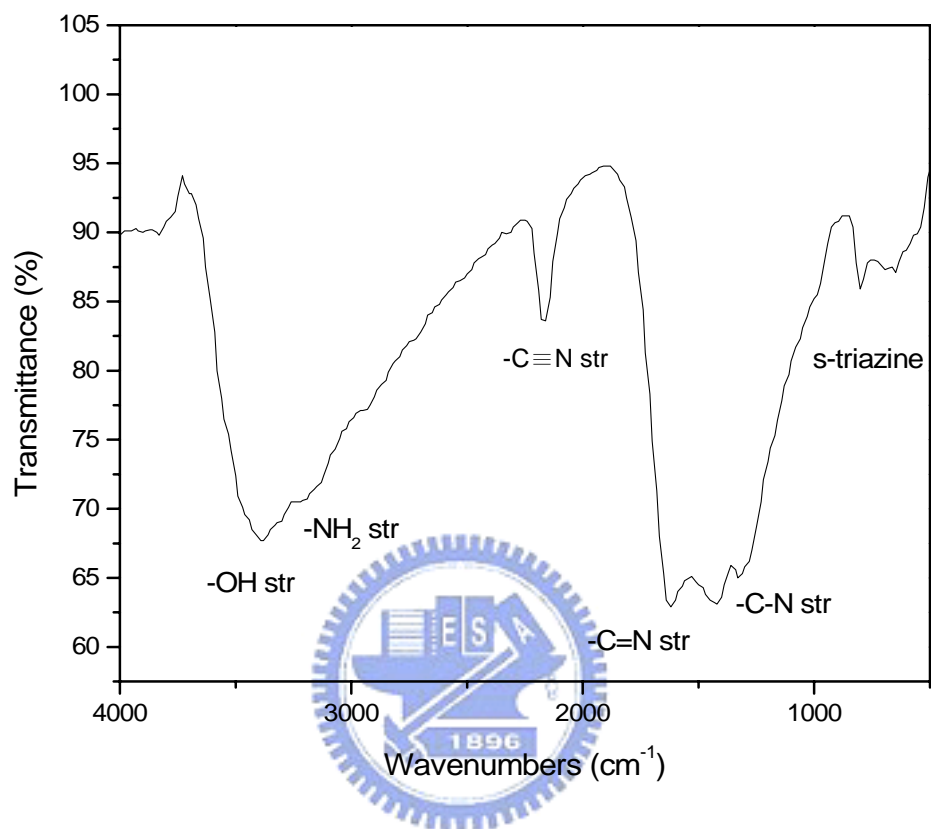


(b)



圖十五 (a) $C_3N_3Cl_3$ 與具反應性模板在 623K下反應得到奈米氮化碳

管之低電子能量損失圖譜。(b)為其電子能量損失圖。



圖十六 $C_3N_3Cl_3$ 與具反應性模板在 623K下反應得到奈米氮化碳管之 FT-IR光譜圖。